

# 基于 HiFi-GAN 的改进型高效声码器

唐君 张连海 李嘉欣 李宜亭

(中国人民解放军战略支援部队信息工程大学信息系统工程学院, 河南郑州 450001)

**摘要:** HiFi-GAN 声码器通过采用缩减网络层的通道数或层数的方式来有效减少模型参数、提高推理速度, 但这种方式也严重损害了生成语音的质量。针对此问题, 提出了两点改进措施: 1. 采用多尺度卷积策略对输入 Mel 谱进行处理来有效表征特征信息; 2. 采用一维深度可分离卷积替换生成器网络中的标准一维卷积。实验结果表明, 多尺度卷积策略有效提升了模型性能, 提高了生成语音的质量, 而一维深度可分离卷积显著减少了模型参数量并加快了模型推理速度。通过将这两者结合, 有效提升了 HiFi-GAN 模型的性能, 具体来说, 模型参数量约减少了 67.72%, 在 GPU、CPU 上的推理速度分别提升了 11.72%、28.98%。此外, 语音质量也得到略微提升, 平均主观意见分(Mean Opinion Score, MOS)提升了 0.07, 客观语音质量评估(Perceptual Evaluation of Speech Quality, PESQ)得分提升了 0.05。

**关键词:** 语音合成; 声码器; HiFi-GAN; 深度可分离卷积; 多尺度卷积策略

中图分类号: TN912.33 文献标识码: A DOI: 10.16798/j.issn.1003-0530.2022.09.021

**引用格式:** 唐君, 张连海, 李嘉欣, 等. 基于 HiFi-GAN 的改进型高效声码器[J]. 信号处理, 2022, 38(9): 1988-1998. DOI: 10.16798/j.issn.1003-0530.2022.09.021.

**Reference format:** TANG Jun, ZHANG Lianhai, LI Jiaxin, et al. Improved high-efficiency vocoder based on HiFi-GAN [J]. Journal of Signal Processing, 2022, 38(9): 1988-1998. DOI: 10.16798/j.issn.1003-0530.2022.09.021.

## Improved High-efficiency Vocoder Based on HiFi-GAN

TANG Jun ZHANG Lianhai LI Jiaxin LI Yiting

(School of Information System Engineering, PLA Strategic Support Force Information Engineering University, Zhengzhou, Henan 450001, China)

**Abstract:** The HiFi-GAN vocoder effectively reduces model parameters and improves inference speed by reducing the number of channels or layers of the network layer, but this method also seriously damages the quality of the generated speech. To solve this problem, two improvement measures are proposed: 1. Multi-scale convolution strategy is used to process the input Mel spectrum to effectively characterize the feature information; 2. One-dimensional depthwise separable convolution is used to replace standard one-dimensional convolutions in the generator network. Experimental results show that the multi-scale convolution strategy effectively improves the model performance and the quality of the generated speech, while the one-dimensional depthwise separable convolution significantly reduces the amount of model parameters and speeds up the inference speed. By combining the two, the performance of the HiFi-GAN model is effectively improved. Specifically, the amount of model parameters is reduced by approximately 67.72%, and the inference speed on the GPU and CPU are increased by 11.72% and 28.98%, respectively. In addition, voice quality has also been slightly improved, the Mean Opinion Score (MOS) increased by 0.07 and Perceptual Evaluation of Speech Quality (PESQ) score increased by 0.05.

**Key words:** speech synthesis; vocoder; HiFi-GAN; depthwise separable convolution; multi-scale convolution strategy

收稿日期: 2022-01-17; 修回日期: 2022-03-15

基金项目: 国家自然科学基金资助项目(61673395, 62171470)

## 1 引言

近年来,基于神经网络的语音合成技术得到了迅速发展,合成语音的质量甚至已接近了人类录音的水平。这类语音合成系统通常可分为两个模块实现,第一个模块,根据输入文本预测声学特征,通常称为合成器模块;第二个模块,根据预测的声学特征生成语音波形,该模块通常称为声码器模块,本文聚焦于声码器模块的研究。传统的声码器,如 STRAIGHT<sup>[1]</sup>、WORLD<sup>[2]</sup>等,它们生成语音的质量通常很低并且听起来很不自然,而基于神经网络的声码器(简称神经声码器)在利用梅尔(Mel)谱生成语音波形方面取得了显著的成绩,其生成语音的质量远远超过传统声码器生成语音的质量。因此,神经声码器技术已经成为了目前的主流声码器技术。

根据神经声码器结构的不同,该类声码器可分为两大类:自回归模型和非自回归模型。起初,神经声码器研究主要集中在自回归模型,如 WaveNet<sup>[3]</sup>、WaveRNN<sup>[4]</sup>和 SampleRNN<sup>[5]</sup>等。自回归模型的基本思想是将语音波形的分布分解为多个条件分布的乘积进行建模,即当前的采样点依赖于先前生成的采样点来生成,以建模语音波形间的长期相关性。虽然这类模型能够生成高质量的语音,但这种顺序推理过程导致其生成语音的速度非常慢、效率低下,无法满足实时应用的要求。

为解决自回归模型因其结构而带来的局限性,非自回归模型应运而生。非自回归模型直接建模语音波形的联合分布,因此这类模型具有高度的并行性,其推理速度比自回归模型快得多。近几年来,非自回归声码器得到了迅速发展,根据其方法,可分为四类:一、基于知识蒸馏的模型,如 Parallel WaveNet<sup>[6]</sup>和 ClariNet<sup>[7]</sup>等。在这个模型框架下,自回归教师模型的知识被转移到基于逆自回归流<sup>[8]</sup>(Inverse Autoregressive Flow, IAF)的学生模型,虽然基于 IAF 的学生模型能够快速生成合理感知质量的语音,但是这种方法不仅需要训练有素的教师模型,而且还需要一些策略来优化复杂的概率密度蒸馏过程,如使用基于 Kulback-Leiber(KL)散度的概率蒸馏目标以及附加的感知损失项来训练学生模型。此外,由于学生模型参数庞大,还需要 GPU 进行推理才能达到实时性;二、基于流的模型,如

WaveGlow<sup>[9]</sup>、WaveFlow<sup>[10]</sup>等,它们由一个可逆网络实现,仅通过最小化训练数据的负对数似然损失来直接学习,该类方法通常需要庞大的参数量和繁重的计算量,其生成语音质量才能与自回归模型相当,虽然它们在 GPU 上推理速度很快,但该类方法通常不适用于内存受限、硬件条件不足的场景下;三、基于扩散概率模型,如 DiffWave<sup>[11]</sup>和 WaveGrad<sup>[12]</sup>等。这类模型以迭代的方式利用具有固定步数的马尔可夫链将白噪声信号转换成结构化语音信号,因此它们需要一定的模型参数和迭代次数才能生成较高质量的语音。虽然这类模型的推理速度相比自回归模型快得多,但是相比基于流的模型却要慢得多,也只是能在 GPU 上实现较低的实时性;四、基于生成对抗网络(Generative Adversarial Network, GAN)的模型,它们是目前最有前景的方法之一。Parallel WaveGAN<sup>[13]</sup>和 MelGAN<sup>[14]</sup>是 GAN 在声码器上的早期尝试,相比于其他模型,它们显著提高了模型推理速度(Parallel WaveGAN 在 GPU 上实现较高的实时性,而 MelGAN 不仅在 GPU 上实现了很高的实时性,在 CPU 上也能实时生成语音),然而它们生成的语音质量上并不令人满意。为此,研究者作了进一步的努力,如 Multi-Band MelGAN<sup>[15]</sup>改进了 MelGAN,进一步提高了 MelGAN 生成语音的质量和速度,VocGAN<sup>[16]</sup>改善了 MelGAN 中存在的生成语音质量不足以生成语音的 Mel 谱与输入 Mel 谱的声学特征不一致的问题。LCVNet<sup>[17]</sup>则改进了 Parallel WaveGAN,提出了一种位置变量卷积用于建模语音波形序列的长期相关性,在不降低音质和增加参数的情况下,合成速度相比 Parallel WaveGAN 提升了 4 倍左右。以上基于 GAN 的声码器研究,虽然实现以较高的实时速度生成语音波形,甚至在 CPU 上也能实现实时推理,但是这些模型生成语音的质量始终与自回归模型有所差距,但 HiFi-GAN<sup>[18]</sup>的出现打破了这种桎梏,它实现了高效和高保真的语音波形生成。从本质上来说,HiFi-GAN 的成功主要得益于其不仅有效建模了语音波形的长期相关性,更重要的是其有效建模了语音波形的周期模式,这也是之前基于 GAN 的声码器所欠缺的。此外,HiFi-GAN 相比于其他模型在端到端语音合成系统中兼容性更好,很多端到端语音合成系统采用 HiFi-GAN 模型作为声码器来将前端预测的 Mel 谱转换为语音波形。

HiFi-GAN 作为目前最先进的声码器网络之一,但其仍存在一些不足:无法在语音质量和模型参数、推理速度上进行很好的权衡,通常采用缩减网络层的通道数或层数的方式来减少模型参数、提高推理速度,但这种方式需要牺牲较大的语音质量去换取模型参数的减少和推理速度的提升。

为了更好权衡 HiFi-GAN 模型在语音质量和模型参数、推理速度上的关系,本文在 HiFi-GAN 的基础上,引入了多尺度卷积策略和深度可分离卷积,以期望在不明显降低其生成语音质量的情况下,显著减少了 HiFi-GAN 的参数量,并进一步提高了其推理速度。

## 2 模型框架

在本节中,首先介绍一维深度可分离卷积的原理,然后介绍生成器的结构原理并将多尺度卷积策略和一维深度可分离卷积引入其中,接着再介绍判别器的结构原理,最后介绍用于训练生成器和判别器的损失函数。

### 2.1 一维深度可分离卷积

在这一小节中,先介绍标准一维卷积的原理,再借此引入深度可分离卷积,并对两者的参数量和计算量进行了比较。

标准一维卷积的原理如图 1 所示,对于大小为  $T_1 \times C_1$  的输入(如 Mel 谱,  $T_1$  代表帧数,  $C_1$  代表 Mel 谱的维度,即通道数),卷积核的尺寸为  $K$ (标准一维卷积默认对输入的所有通道进行处理,因此卷积核的实际参数大小为  $K \times C_1$ ),若共有  $C_2$  个卷积核(滤波器),则输出大小为  $T_2 \times C_2$ , $T_2$  的值由卷积核的尺寸、卷积步长、填充等参数所决定。因此,这里标准一维卷积的参数量  $P_{std}$ 、乘法计算量  $O_{std \times}$  以及加法计算量  $O_{std+}$  分别如式(1)、(2)、(3)所示。

$$P_{std} = (K \times C_1 + 1) \times C_2 \quad (1)$$

$$O_{std \times} = K \times C_1 \times T_2 \times C_2 \quad (2)$$

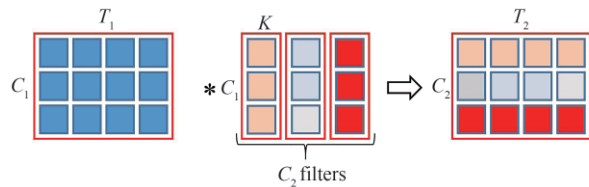


图 1 标准一维卷积原理图

Fig. 1 Schematic diagram of standard one-dimensional convolution

$$O_{std+} = ((K \times C_1 - 1) + 1) \times T_2 \times C_2 \quad (3)$$

其中,式(1)、(3)中的+1表示偏置。

深度可分离卷积(Depthwise Separable Convolution, DSC)由两个过程组成,分别为深度卷积和逐点卷积。

#### ① 深度卷积(Depthwise Convolution)

一维深度卷积的原理如图 2 所示,对于大小同样为  $T_1 \times C_1$  的输入,卷积核的尺寸为  $K$ (这里每个卷积核只对一个特定的通道进行处理,因此每个卷积核的实际参数大小为  $K \times 1$ ),共有  $C_1$  个卷积核,即输出通道与输入通道相等。由于深度卷积逐通道处理的特性,因此其也被称为逐通道卷积,这里深度卷积的参数量  $P_{dw}$ 、乘法计算量  $O_{dw \times}$  以及加法计算量  $O_{dw+}$  分别如式(4)、(5)、(6)所示。

$$P_{dw} = (K \times 1 + 1) \times C_1 \quad (4)$$

$$O_{dw \times} = K \times 1 \times T_2 \times C_1 \quad (5)$$

$$O_{dw+} = ((K \times 1 - 1) + 1) \times T_2 \times C_1 \quad (6)$$

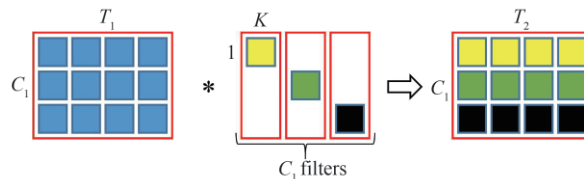


图 2 一维深度卷积原理图

Fig. 2 Schematic diagram of one-dimensional depthwise convolution

其中,式(4)、(6)中的+1表示偏置。

#### ② 逐点卷积(Pointwise Convolution)

一维逐点卷积的原理如图 3 所示,它是标准一维卷积的特例(卷积核的尺寸为 1),共有  $C_2$  个卷积核,由于卷积核的尺寸为 1,因此输出的时间维度与输入的时间维度保持不变。逐点卷积主要对输出通道起到升维和降维的作用(通道维度由参数  $C_2$  控制)。

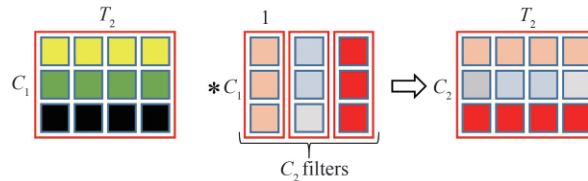


图 3 一维逐点卷积的原理图

Fig. 3 Schematic diagram of one-dimensional pointwise convolution

制),并将各通道之间信息进行了整合。因此由于逐点卷积的存在,深度可分离卷积并没有丢失通道间的信息,这里逐点卷积的参数量  $P_{pw}$ 、乘法计算量  $O_{pw \times}$  以及加法计算量  $O_{pw+}$  如式(7)、(8)、(9)所示。

$$P_{pw} = (1 \times C_1 + 1) \times C_2 \quad (7)$$

$$O_{pw \times} = 1 \times C_1 \times T_2 \times C_2 \quad (8)$$

$$O_{pw+} = ((1 \times C_1 - 1) + 1) \times T_2 \times C_2 \quad (9)$$

其中,式(7)、(9)中的+1表示偏置。

综上所述,一维深度可分离卷积的总参数量为  $P_{dw} + P_{pw}$ , 总乘法计算量为  $O_{dw \times} + O_{pw \times}$ , 总加法计算量为  $O_{dw+} + O_{pw+}$ 。相比标准一维卷积,两者参数量、乘法计算量以及加法计算量的比值分别如式(10)、(11)、(12)所示。

$$\frac{P_{dw} + P_{pw}}{P_{std}} = \frac{(K+1) \times C_1 + (C_1+1) \times C_2}{(K \times C_1 + 1) \times C_2} \approx \frac{1}{C_2} + \frac{1}{K} \quad (10)$$

$$\frac{O_{dw \times} + O_{pw \times}}{O_{std \times}} = \frac{1}{C_2} + \frac{1}{K} \quad (11)$$

$$\frac{O_{dw+} + O_{pw+}}{O_{std+}} = \frac{1}{C_2} + \frac{1}{K} \quad (12)$$

通常情况下  $C_1, C_2 \gg 1$  且  $K \geq 3$ , 因此一维深度可分离卷积相比标准一维卷积而言,参数量、乘法计算量以及加法计算量将会得到明显减少,这将有助于模型的压缩与加速。

从本质上讲,标准一维卷积将时间相关性和通道相关性进行联合映射,而一维深度可分离卷积将时间相关性和通道相关性进行分开映射。从语音波形中提取 Mel 谱的过程来看,先对语音分段,再对每段语音分别进行计算提取一帧的 Mel 谱,因此本文采用一维深度可分离卷积将 Mel 谱中的时间相关性和通道相关性进行分开学习,这种分而治之的思想更有助于网络利用 Mel 谱还原出语音波形,也相对减轻网络的学习负担,有助于网络的快速学习。

## 2.2 生成器

生成器结构如图 4 所示,它使用 Mel 谱作为输入,并通过转置卷积不断对其进行上采样,直到输出序列的长度与原始波形的时间分辨率相匹配。每个转置卷积后面都连接一个多接受场融合(Multi-Receptive Field Fusion, MRF)模块,MRF 的具体结构如图 5 所示。

MRF 模块累积多个残差块(ResBlock)的输出之和,每个残差块由一系列的一维卷积构成,这些卷积

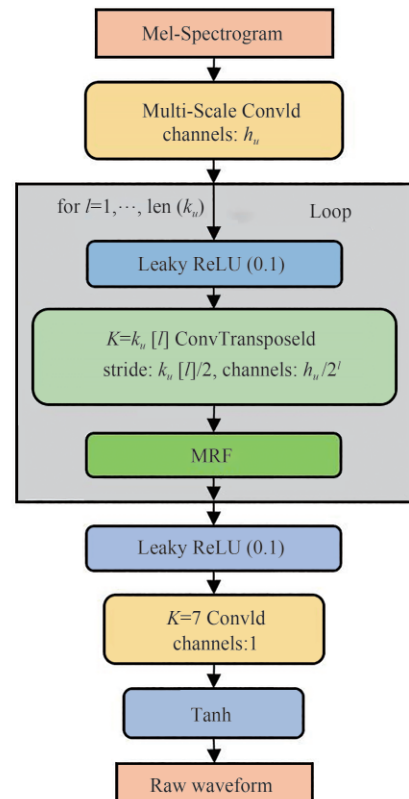


图 4 生成器的结构原理图( $K$  表示卷积核的尺寸)

Fig. 4 Schematic diagram of the structure of the generator ( $K$  represents the size of the convolution kernel)

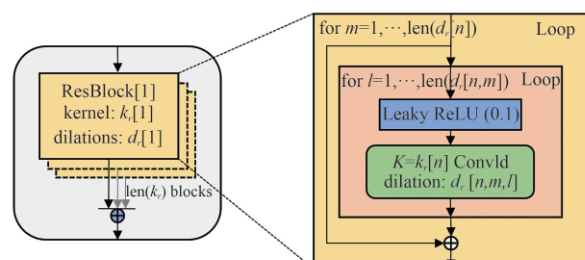


图 5 MRF 的结构原理图(右边为残差块的具体结构,当表示第  $i$  个残差块时,则  $n = i$ )

Fig. 5 The schematic diagram of the structure of the MRF (The right side is the specific structure of the residual block, when the  $i$ -th residual block is represented, then  $n = i$ )

有着不同大小的卷积核和扩张率,以形成不同大小的接受场,有效建模语音波形的短期和长期相关性。

Mel 谱作为语音的一种低分辨率表示,其帧与帧之间存在着强烈的短期和长期相关性,这些相关性对于建模语音分布是至关重要的。因此,本文为了捕获 Mel 谱的局部特性和远程相关性,采用一个

多尺度卷积(Multi-Scale Convolution, MSC)策略对输入 Mel 谱进行处理。

如图 6 所示, MSC 策略是指采用多个不同尺寸的卷积核对输入 Mel 谱进行处理并返回这些处理结果之和。卷积核的具体尺寸如图中所示。这里每个卷积层的输出通道(channels)是一致,即每个卷积层的输出的通道维度是相同的,同时为保证每个卷积层的输出在时间维度上保持不变,将输入(Mel 谱)送入卷积层处理之前,根据各卷积层的卷积核大小对输入进行补零填充操作,即在其时间维度上填充一定数量值为 0 的 Mel 谱帧。因此,经过不同尺寸的卷积核处理后的输出的纵向和横向维度大小均相同,这将保证各个输出结果可以直接相加。

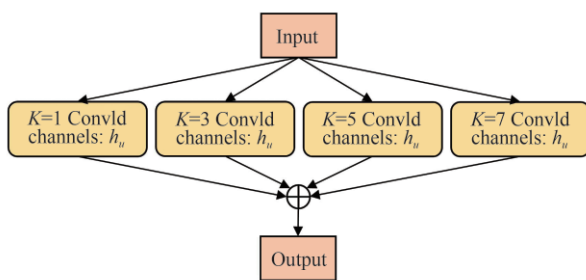


图 6 多尺度卷积策略原理图

Fig. 6 Schematic diagram of multi-scale convolution strategy

不同尺寸的卷积核能够捕获不同尺度的全局和局部特征,与原生成器网络采用固定尺寸的卷积核来处理 Mel 谱相比,本文提出的多尺度卷积策略能充分表征从 Mel 谱中提取的信息,有助于后续网络利用这些信息进行学习以建模原始语音的分布。此外,为了不显著降低生成器生成语音的质量情况下,有效减少模型参数量并提高模型推理速度,受图像中的深度可分离卷积<sup>[19]</sup>启发,本文采用一维深度可分离卷积去替代生成器中原有的标准一维卷积。在训练过程中,生成器除了转置卷积层外,其他所有卷积层均采用权重归一化<sup>[20]</sup>,值得注意的是深度可分离卷积采用权重归一化等同于深度卷积和逐点卷积均采用权重归一化。

### 2.3 判别器

对于生成对抗网络来说,判别器主要对生成器起一个对抗训练的作用,引导生成器能产生更接近真实的数据。这里模型的判别器仍采用 HiFi-GAN 原有的配置,其包含两个判别器:多尺度判别器和多周期判别器。

#### 2.3.1 多周期判别器

多周期鉴别器(Multi-Period Discriminator, MPD)的结构如图 7 所示,它由多个网络结构相同的子鉴

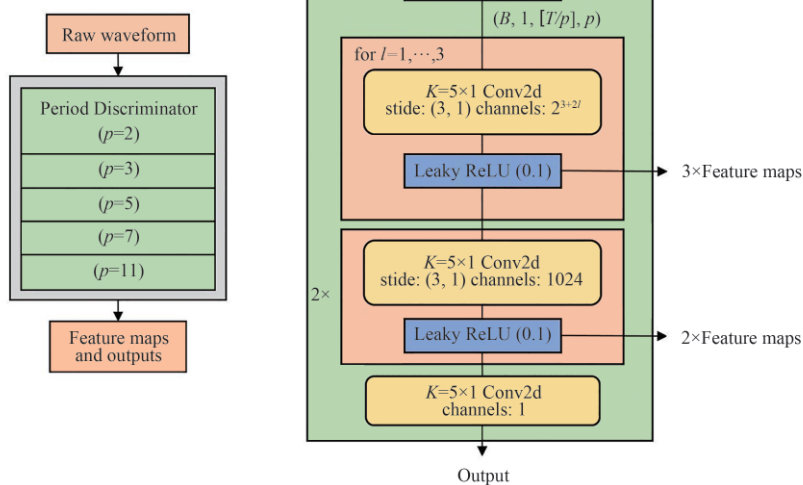


图 7 多周期鉴别器原理图(左为整体结构,右为子鉴别器的网络结构,Feature map 为每层网络的特征输出,用于下节提到的特征匹配损失)

Fig. 7 Schematic diagram of the multi-period discriminator (the left is the overall structure, the right is the network structure of the sub-discriminator, and “Feature map” is the feature output of each layer of the network, which is used for the feature matching loss mentioned in the next section)

别器组成,每个子鉴别器用于捕获输入语音的一部分周期信号,以识别语音数据中潜在的各种周期模式。

为实现子鉴别器捕获语音信号中的周期模式,每个子鉴别器并不直接处理语音波形,而是将语音波形进行填充与整形,如图8所示,以保证每个子鉴别器只接受输入语音波形的等间距采样点,间隔由周期参数 $p$ 控制。通过这样的方式,长度为 $T$ 的一

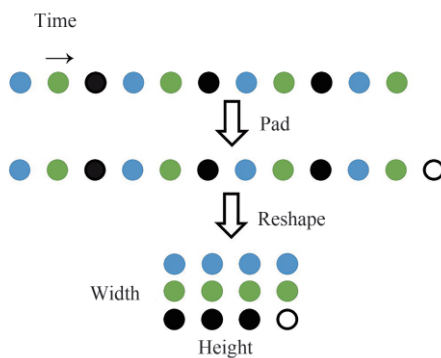


图8 语音波形的填充与整形示意图(周期参数 $p=3$ )

Fig. 8 Schematic diagram of pad and reshape of speech waveform (period parameter  $p=3$ )

维原始语音被处理成高度为 $T/p$ 、宽度为 $p$ 的二维数据,因此,MPD需要采用二维的卷积神经网络来处理这些数据,除最后一层网络外,其他层均采用二维跨步卷积(只在高度上进行跨步),并且每层卷积均采用权重归一化。在MPD的每层卷积层中,卷积核的宽度轴的大小被限制为1,从而独立处理宽度轴方向的周期语音采样点。因此,每个子鉴别器可以通过处理语音波形不同的部分来捕获语音中彼此不同的潜在周期模式。

### 2.3.2 多尺度判别器

多尺度鉴别器(Multi-Scale Discriminator, MSD)的结构如图9所示,MSD是三个网络结构相同但工作在不同尺度上的鉴别器组合,即分别处理原始语音、经过 $\times 2$ 平均池化的原始语音、经过 $\times 4$ 平均池化的原始语音。子鉴别器通过采用分组卷积来保证使用较大尺寸的卷积核,同时保持较小的参数量。除了对原始语音处理的第一个子鉴别器应用谱归一化<sup>[21]</sup>,其他两个子鉴别器应用权重归一化,这里采用谱归一化有助于稳定训练。

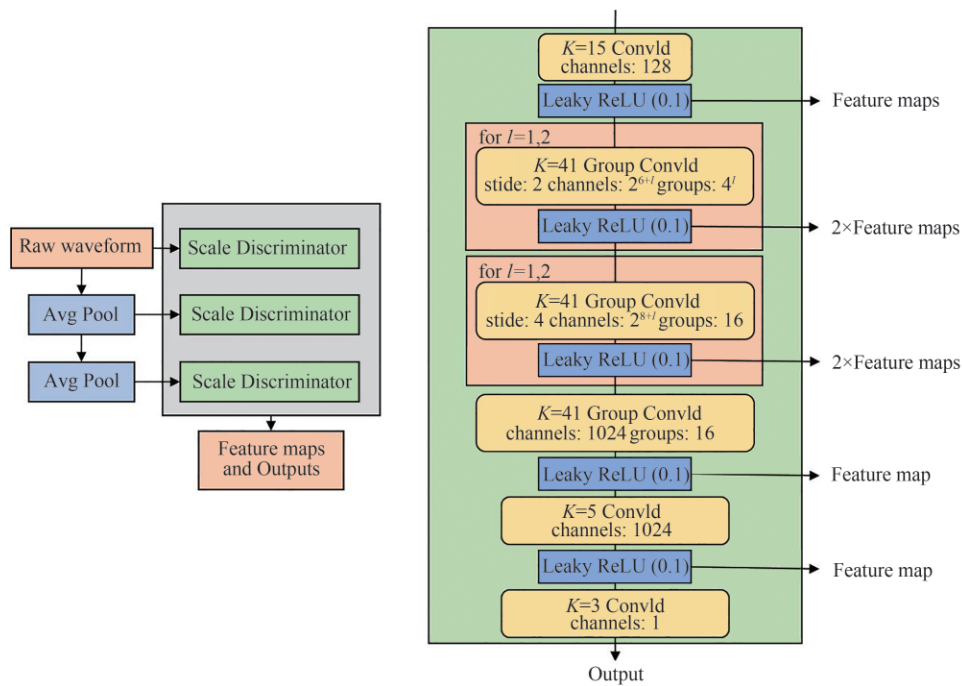


图9 多尺度鉴别器结构原理图(左为整体结构,右为子鉴别器的网络结构,Feature map为每层网络的特征输出,用于下节提到的特征匹配损失)

Fig. 9 Schematic diagram of the multi-scale discriminator structure (the left is the overall structure, the right is the network structure of the sub-discriminator, and “Feature map” is the feature output of each layer of the network, which is used for the feature matching loss mentioned in the next section)

## 2.4 损失函数

损失函数由三部分组成,分别为对抗损失、特征匹配损失以及 Mel 谱损失。

### 2.4.1 对抗损失

对于生成器和鉴别器的对抗训练目标,遵循 LSGAN<sup>[22]</sup>的设置。判别器负责对语音样本进行分类,即将真实语音分类为 1、生成器生成的语音分类为 0,而生成器则根据输入条件生成语音以欺骗判别器,即判别器错将生成语音分类为 1。最后通过生成器和判别器的相互博弈过程,直至生成器能够做到以假乱真的效果。因此,生成器和判别器的对抗损失函数分别如式(13)、(14)所示。

$$\mathcal{L}_{\text{Adv}}(G; D) = \mathbb{E}_s[(D(G(s)) - 1)^2] \quad (13)$$

$$\mathcal{L}_{\text{Adv}}(D; G) = \mathbb{E}_{(x, s)}[(D(x) - 1)^2 + (D(G(s)))^2] \quad (14)$$

为了简洁,这里将 MSD 和 MPD 描述为一个鉴别器,其中  $x$  代表真实语音,  $s$  表示输入条件(对应真实语音提取的 Mel 谱)。

### 2.4.2 特征匹配损失

为提高生成器的能力,采用了 MelGAN 中的特征匹配损失(Feature Matching Loss, FML), FML 通过比较真实语音和生成语音在判别器每层网络的输出特征之间的差异来提高生成器的伪造能力,采用 L1 距离来衡量这种差异,特征匹配损失函数如式(15)所示。

$$\mathcal{L}_{\text{FM}}(G; D) = \mathbb{E}_{(x, s)} \left[ \sum_{i=1}^T \frac{1}{N_i} \|D^i(x) - D^i(G(s))\|_1 \right] \quad (15)$$

其中,  $T$  表示鉴别器中的卷积层数,  $D^i$  和  $N_i$  分别表示鉴别器的第  $i$  层中的特征和特征数量。

### 2.4.3 Mel 谱损失

Parallel WaveGAN 通过联合优化多分辨率频谱损失和对抗损失,有效捕获了真实语音波形的时频分布。类似于多分辨率频谱损失,HiFi-GAN 根据人耳听觉特性,采用 Mel 谱损失,以期望提高生成语音的感知质量。具体来说,Mel 谱损失是生成器生成语音的 Mel 谱与真实波形的 Mel 谱之间的 L1 损失,如式(16)所示。

$$\mathcal{L}_{\text{Mel}}(G) = \mathbb{E}_{(x, s)}[\|\phi(x) - \phi(G(s))\|_1] \quad (16)$$

其中,  $\phi(\cdot)$  表示从语音中提取 Mel 谱的函数,注意这里提取的 Mel 谱是全频带的(最低频率为 0 Hz,最高频率为语音采样率的一半),不同于作为输入条件的带限 Mel 谱,采用全频带的 Mel 损失有助于模型

学习语音的全频带信息。

### 2.4.4 总损失

特征匹配损失和 Mel 谱损失作为辅助损失用于稳定模型训练并加速收敛,因此训练生成器和判别器最终的损失函数如式(17)、(18)所示。

$$\mathcal{L}_G = \sum_{k=1}^K [\mathcal{L}_{\text{Adv}}(G; D_k) + \lambda \mathcal{L}_{\text{FM}}(G; D_k)] + \mu \mathcal{L}_{\text{Mel}}(G) \quad (17)$$

$$\mathcal{L}_D = \sum_{k=1}^K \mathcal{L}_{\text{Adv}}(D_k; G) \quad (18)$$

其中,  $D_k$  表示 MPD 和 MSD 中第  $k$  个子鉴别器,  $\lambda$  和  $\mu$  为超参数用于控制各项损失的比重,在实验中其值分别设置为 2 和 45。

## 3 实验及结果

### 3.1 实验设置

实验数据采用公开的 LJSpeech 数据集,该数据集由 13100 个英语语音片段和相应的文本组成,语音总时长约为 24 个小时,语音格式为 16 比特 PCM 编码,采样率为 22050 Hz,由一名专业的美国女性说话者录制。实验中将数据集随机分成两部分:12800 个音频样本用于训练集,300 个音频样本用于测试集。实验在单个 GPU 和 CPU(NVIDIA Tesla V100 GPU 用于训练,Xeon(R) E5-2620 v4 2.10 GHz CPU 和 NVIDIA GTX 1080Ti GPU 用于测试)上进行,模型网络架构基于 PyTorch 搭建,模型采用 80 维(0~80 kHz 频率范围)的 Mel 谱作为输入,其中 FFT 长度、帧长和帧移分别设置为 1024、1024 和 256 个采样点,并采用汉宁窗减少频谱能量泄露。

模型采用 AdamW<sup>[23]</sup>优化器进行训练,其中  $\beta_1 = 0.8$ 、 $\beta_2 = 0.99$ 、 $\varepsilon = 1e^{-6}$ ,初始学习率设置为  $2e^{-4}$ ,每经过一个训练周期(Epoch),学习率衰减为 0.999 倍。批处理每条语音的长度和批处理大小分别设置为 16384 个采样点和 12 个音频样本。此外,生成器网络的具体参数如表 1 所示,部分参数的表示方式类似数组形式,如  $k_r[2] = 7$ ,  $d_r[3, 2, 1] = 3$ 。为了进行对比实验,本文也训练了 WaveNet、WaveGlow 声码器,模型及训练设置保持与原有设置相同。

### 3.2 Mel 谱损失对比

Mel 谱是根据人耳的听觉特性设计的,生成语音的 Mel 谱与真实语音的 Mel 谱之间的差距能够一

表1 生成器的网络参数配置

Tab. 1 Network parameters configuration of the generator

网络参数	参数值
$h_u$	512
$k_u$	[16, 16, 4, 4]
$k_r$	[3, 7, 11]
$d_r$	[[[1, 1], [3, 1], [5, 1]], [[1, 1], [3, 1], [5, 1]], [[1, 1], [3, 1], [5, 1]]]]

定程度上反映生成语音与真实语音在语音质量上的差异。为比较多尺度卷积(MSC)策略和一维深度可分离卷积(DSC)在 HiFi-GAN 模型中的有效性,本文首先展示了它们结合 HiFi-GAN 模型在不同训练周期时,测试集上的 Mel 谱损失情况,如图 10 所示。

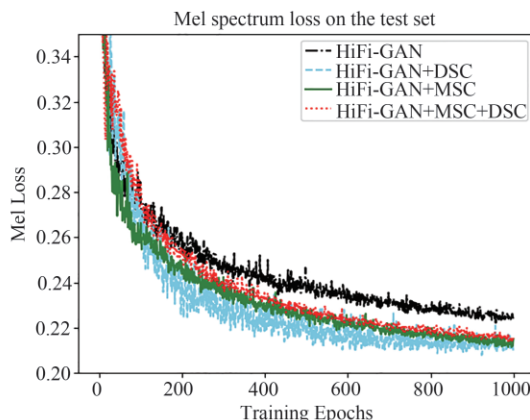


图 10 不同训练阶段的测试集上的 Mel 谱损失

Fig. 10 Mel spectral loss on the test set at different training stages

根据图中结果可以看出, MSC 策略的确有助于生成器学习,产生更接近真实语音的生成语音。采用 DSC 能使模型的 Mel 谱损失快速下降,但是在 800 Epochs 左右,其 Mel 损失就开始趋于稳定,而其他三个模型(包括基线 HiFi-GAN)的损失仍有下降的趋势。不过 MSC 解决了这个问题,提高了模型进一步的学习能力,如在 1000 Epochs 的时候,HiFi-GAN+MSC+DSC 模型不仅在损失上与 HiFi-GAN+DSC 模型基本持平,而且其损失仍有下降的趋势,模型还有继续学习的能力。

综上所述,DSC 具有加速模型学习的能力,但这种能力是不稳定的,即其损失在图中震荡比较大(如在 950 Epochs 左右,Mel 谱损失甚至跳回基线水平);而 MSC 策略能够有效提高模型学习能力并且

稳定训练过程,如采用 MSC 的两个模型在损失上更稳定(毛刺较少,浮动幅度较小),尤其是与 DSC 结合的情况下更明显。

### 3.3 语音质量、模型参数及推理速度

为比较不同模型间的语音质量(模型均训练到其损失不再明显下降),本文采用了一个客观指标:客观语音质量评估<sup>[24]</sup>(Perceptual Evaluation of Speech Quality, PESQ)和一个主观评价:平均主观意见分(Mean Opinion Score, MOS)。生成器生成的语音是以真实语音的 Mel 谱作为输入条件,因此生成语音有着对应真实语音作为参考,即可以计算两者的 PESQ 值。这里需要注意的是进行 PESQ 计算前,需要保证生成语音和原始语音的长度一致,由于生成语音的时间分辨率是输入 Mel 谱的时间分辨率的 256(帧移)倍,因此测试集每条语音的长度需要处理成帧移的整数倍才能计算两者的 PESQ 值,本文是通过丢弃每条语音尾部多余的采样点(即最多丢弃 255 个采样点)来实现的,因为一条语音有几万甚至十几万个采样点,其尾部二百多个采样点基本是语音中的静音段,截去并不会影响语音质量和内容。随后则利用处理后的测试集来提取真实 Mel 谱输入模型中得到生成语音,生成语音与处理后的测试集中的对应真实语音均被下采样至 16 kHz,并采用 python 里面的 pypesq 库进行 PESQ 值的计算;而 MOS 测试是从测试集中随机选取 30 条语音作为评估集,由 15 位精通英语的听众通过耳机试听并根据语音的质量,由差(1)到好(5)采用 5 分制进行打分,MOS 得分的置信区间(Confidence Intervals, CI)为 95%。

此外,本文也比较了各模型间的参数量与分别在 GPU、CPU 上的推理速度,这里的推理速度采用实时因子(Real Time Factor, RTF)的倒数来衡量,RTF 表示模型生成一秒时长的语音波形所需的时间(单位秒),即生成一秒波形需一秒的时长则认为模型刚好达到了实时性。因此,RTF 的倒数值表示该模型的推理速度是实时的倍数值。

不同模型间的参数量、推理速度、MOS 和 PESQ 得分如表 2 所示。根据表中结果可以看出,DSC 的引入显著减少了 HiFi-GAN 模型的参数量,提升了模型在 GPU、CPU 上的推理速度,并且未对 HiFi-GAN 生成语音的质量造成明显影响。MSC 则仅仅在 HiFi-GAN 的基础上增加了 2.65% 的参数量,却

表2 不同模型的参数、推理速度、MOS 和 PESQ 得分

Tab. 2 Parameters, inference speed, MOS and PESQ scores of different models

模型	MOS(CI)	PESQ	参数(百万)	推理速度(GPU)	推理速度(CPU)
真实语音	4.58±0.08	4.50	—	—	—
WaveNet	4.05±0.07	3.28	24.75	× 0.002	—
WaveGlow	3.99±0.08	3.21	87.88	× 5.10	× 0.13
HiFi-GAN	4.32±0.08	3.70	13.94	× 70.55	× 2.45
HiFi-GAN + DSC	4.30±0.10	3.69	4.37	× 80.72	× 3.18
HiFi-GAN + MSC	4.41±0.07	3.78	14.31	× 66.63	× 2.39
HiFi-GAN + DSC + MSC	4.39±0.05	3.75	4.50	× 78.82	× 3.16

有效提升了 HiFi-GAN 生成语音的质量。本文通过将 DSC 和 MSC 结合,使得改进后的 HiFi-GAN 模型不仅参数量约减少了 67.72%,语音质量也略有提升(MOS 提升了 0.07, PESQ 提升了 0.05),此外在 GPU、CPU 上推理速度约分别提升了 11.72% 和 28.98%。与基于流(WaveGlow)和基于自回归(WaveNet)的模型相比,改进后的 HiFi-GAN 在各项指标上均优于它们。

### 3.4 多说话人条件下的性能测试

为验证改进后的 HiFi-GAN 模型在不可见说话人条件下的通用性,本文另外采用了公开的 VCTK 数据集,该数据集包括由 109 名说话人录制约 44200 个语音片段,总时长约为 44 个小时,语音格式为 16 比特 PCM 编码,采样率为 44 kHz,这里为了训练方便(保持 LJSpeech-1.1 数据集下的训练设置),将语音采样率下降为 22 kHz。选取 100 名说话者的语音片段作为训练集,剩下 9 名说话者的语音片段作为测试集。为了对比实验,本文也利用该数据集训练了 WaveNet、WaveGlow 模型,模型均训练到损失不再明显下降。PESQ 评价方式如上节相同,即计算测试集中真实语音与利用其真实 Mel 谱生成语音之间的 PESQ 得分。此外,为了进行 MOS 测试,随机从测试集中 9 个说话人的语音片段中共选取 45 个片段作为评估集,即每个说话人选取 5 个片段,评价方式和打分规则与 4.2 节相同。注意这里测试集里面的 9 个说话人是在模型训练过程未出现过的,对于模型来说是不可见的。

在不可见说话人条件下,各模型生成语音的 PESQ 和 MOS 得分如表 3 所示,可以看出改进后的 HiFi-GAN 声码器的 MOS 和 PESQ 得分均相比于原

表3 不可见说话人条件下的 MOS 和 PESQ 得分

Tab. 3 MOS and PESQ scores in unseen speaker condition

模型	MOS(CI)	PESQ
真实语音	4.16±0.07	4.50
WaveNet	3.83±0.08	3.22
WaveGlow	3.81±0.09	3.19
HiFi-GAN	4.07±0.07	3.67
HiFi-GAN + DSC	4.04±0.10	3.64
HiFi-GAN + MSC	4.10±0.08	3.71
HiFi-GAN + DSC + MSC	4.09±0.08	3.69

模型有所提高,与在单说话人数据集上的得分结果相似,这表明改进后的模型对于不可见说话人上仍具有不错的通用性。

### 3.5 端到端语音合成

为了验证改进的 HiFi-GAN 模型作为端到端语音合成任务上的声码器的有效性,采用相同数据集(LJSpeech-1.1)训练了基于 Tacotron 2<sup>[25]</sup>的声学特征预测模型作为前端,注意用于训练声学特征预测模型的数据集切分也与训练声码器网络的数据集切分保持一致,以避免在评估期间泄露测试数据而夸大实验结果。基于 Tacotron 2 的声学特征预测模型采用文本序列作为输出,输出预测的 Mel 谱,然后再将其输入声码器中以生成语音波形。采用 MOS 评估生成语音的质量,方式与 4.2 节中保持相同。

不同声码器在端到端语音合成条件下的 MOS 得分如表 4 所示,改进后的 HiFi-GAN 模型在端到端语音合成任务中取得了最好的结果,表明改进后的 HiFi-GAN 模型在端到端语音合成任务上有很好的兼容性。

表4 端到端语音合成条件下的MOS得分  
Tab. 4 MOS scores under end-to-end speech synthesis conditions

模型	MOS
真实语音	4.58±0.08
Tacotron 2 + WaveNet	3.83±0.09
Tacotron 2 + WaveGlow	3.85±0.07
Tacotron 2 + HiFi-GAN	4.12±0.06
Tacotron 2 + 改进的 HiFi-GAN	4.15±0.06

#### 4 结论

本文在 HiFi-GAN 声码器的基础上,提出一种参数更少、推理速度更快、语音质量更高的改进型 HiFi-GAN 声码器。具体来说,首先通过多尺度卷积策略来有效表征输入 Mel 谱特征,为后续网络提供更充足的信息以生成更高质量的语音,其次利用深度可分离卷积有效地减少了模型参数,提升了推理速度。根据实验结果表明,本文的方法在不降低生成语音质量的前提下(示例语音可以在网址:<https://pan.baidu.com/s/1rZ4fAuLs65Qz-NlLbp4AWA?pwd=naiw>上进行试听),有效减少了 HiFi-GAN 模型约 67.72% 的参数,并提升了模型推理速度(在 GPU 上提升了 11.72%,在 CPU 上提升了 28.98%),这对于将模型部署到硬件条件不足、内存受限的应用场景中是十分有意义的,并且改进后的 HiFi-GAN 模型在端到端语音合成任务上表现优异,有很好的兼容性。

#### 参考文献

- [1] KAWAHARA H, MASUDA-KATSUSE I, DE CHEVEIGNÉ A. Restructuring speech representations using a pitch-adaptive time-frequency smoothing and an instantaneous-frequency-based F0 extraction: Possible role of a repetitive structure in sounds [J]. Speech Communication, 1999, 27 (3/4): 187-207.
- [2] MORISE M, YOKOMORI F, OZAWA K. WORLD: A vocoder-based high-quality speech synthesis system for real-time applications [J]. IEICE Transactions on Information and Systems, 2016, E99.D(7): 1877-1884.
- [3] OORD A V D, DIELEMAN S, ZEN HEIGA, et al. WaveNet: A generative model for raw audio [EB/OL]. 2016: arXiv: 1609.03499[cs.SD]. <https://arxiv.org/abs/1609.03499>.
- [4] KALCHBRENNER N, ELSEN E, SIMONYAN K, et al. Efficient neural audio synthesis [EB/OL]. 2018: arXiv: 1802.08435[cs.SD]. <https://arxiv.org/abs/1802.08435>.
- [5] MEHRI S, KUMAR K, GULRAJANI I, et al. SampleRNN: an unconditional end-to-end neural audio generation model [EB/OL]. 2016: arXiv: 1612.07837[cs.SD]. <https://arxiv.org/abs/1612.07837>.
- [6] OORD A V D, LI Yazhe, BABUSCHKIN I, et al. Parallel WaveNet: Fast high-fidelity speech synthesis [EB/OL]. 2017: arXiv: 1711.10433[cs.LG]. <https://arxiv.org/abs/1711.10433>.
- [7] PING Wei, PENG Kainan, CHEN Jitong. ClariNet: parallel wave generation in end-to-end text-to-speech [EB/OL]. 2018: arXiv: 1807.07281[cs.CL]. <https://arxiv.org/abs/1807.07281>.
- [8] KINGMA D P, SALIMANS T, JOZEFOWICZ R, et al. Improving variational inference with inverse autoregressive flow [EB/OL]. 2016: arXiv: 1606.04934[cs.LG]. <https://arxiv.org/abs/1606.04934>.
- [9] PRENGER R, VALLE R, CATANZARO B. WaveGlow: A flow-based generative network for speech synthesis [C]// ICASSP 2019-2019 IEEE International Conference on Acoustics, Speech and Signal Processing. Brighton, UK. IEEE, 2019: 3617-3621.
- [10] PING W, PENG K, ZHAO K, et al. WaveFlow: A compact flow-based model for raw audio [C]// Proceedings of the 37th International Conference on Machine Learning. PMLR, 2020: 7706-7716.
- [11] KONG Zhifeng, PING Wei, HUANG Jiaji, et al. Diffwave: A versatile diffusion model for audio synthesis [EB/OL]. 2020: arXiv: 2009.09761[eess.AS]. <https://arxiv.org/abs/2009.09761>.
- [12] CHEN Nanxin, ZHANG Yu, ZEN Heiga, et al. WaveGrad: Estimating gradients for waveform generation [EB/OL]. 2020: arXiv: 2009.00713[eess.AS]. <https://arxiv.org/abs/2009.00713>.
- [13] YAMAMOTO R, SONG E, KIM J M. Parallel WaveGAN: A fast waveform generation model based on generative adversarial networks with multi-resolution spectrogram [C]// ICASSP 2020-2020 IEEE International Conference on Acoustics, Speech and Signal Processing. Barcelona, Spain. IEEE, 2020: 6199-6203.
- [14] KUMAR K, KUMAR R, BOISSIERE T D, et al. MelGAN: Generative adversarial networks for conditional waveform synthesis [EB/OL]. 2019: arXiv: 1910.06711[eess.AS]. <https://arxiv.org/abs/1910.06711>.

- [15] YANG Geng, YANG Shan, LIU Kai, et al. Multi-band MelGAN: Faster waveform generation for high-quality text-to-speech [C]//2021 IEEE Spoken Language Technology Workshop. Shenzhen, China. IEEE, 2021: 492-498.
- [16] YANG J, LEE Junmo, KIM Y, et al. VocGAN: A high-fidelity real-time vocoder with a hierarchically-nested adversarial network [EB/OL]. 2020: arXiv: 2007.15256 [eess.AS]. <https://arxiv.org/abs/2007.15256>.
- [17] ZENG Zhen, WANG Jianzong, CHENG Ning, et al. LVC-Net: Efficient condition-dependent modeling network for waveform generation[C]//ICASSP 2021-2021 IEEE International Conference on Acoustics, Speech and Signal Processing. Toronto, ON, Canada. IEEE, 2021: 6054-6058.
- [18] KONG J, KIM J, BAE J. HiFi-GAN: Generative adversarial networks for efficient and high fidelity speech synthesis [EB/OL]. 2020: arXiv: 2010.05646 [cs.SD]. <https://arxiv.org/abs/2010.05646>.
- [19] HOWARD A G, ZHU M, CHEN B, et al. Mobilenets: Efficient convolutional neural networks for mobile vision applications [EB/OL]. 2017: arXiv: 1704.04861 [cs.CV]. <https://arxiv.org/abs/1704.04861>.
- [20] SALIMANS T, KINGMA D P. Weight normalization: A simple reparameterization to accelerate training of deep neural networks [EB/OL]. 2016: arXiv: 1602.07868 [cs.LG]. <https://arxiv.org/abs/1602.07868>.
- [21] MIYATO T, KATAOKA T, KOYAMA M, et al. Spectral normalization for generative adversarial networks [EB/OL]. 2018: arXiv: 1802.05957 [cs.LG]. <https://arxiv.org/abs/1802.05957>.
- [22] MAO Xudong, LI Qing, XIE Haoran, et al. Least squares generative adversarial networks [C]//2017 IEEE International Conference on Computer Vision. Venice, Italy. IEEE, 2017: 2813-2821.
- [23] LOSHCHILOV I, HUTTER F. Decoupled weight decay regularization [EB/OL]. 2017: arXiv: 1711.05101 [cs.LG]. <https://arxiv.org/abs/1711.05101>.
- [24] RIX A W, BEERENDS J G, HOLLIER M P, et al. Perceptual evaluation of speech quality (PESQ)-a new method for speech quality assessment of telephone networks and codecs[C]//ICASSP 2001-2001 IEEE International Conference on Acoustics, Speech and Signal processing. Proceedings (Cat. No. 01CH37221). Salt Lake City, UT, USA. IEEE, 2001, 2: 749-752.
- [25] SHEN J, PANG Ruoming, WEISS R J, et al. Natural TTS synthesis by conditioning WaveNet on MEL spectrogram predictions[C]//ICASSP 2018-2018 IEEE International Conference on Acoustics, Speech and Signal Processing. Calgary, AB, Canada. IEEE, 2018: 4779-4783.

### 作者简介



唐君 男,1996年生,江西九江人。中国人民解放军战略支援部队信息工程大学硕士研究生,主要研究方向为智能信息处理、人工智能、语音合成。  
E-mail: 2433548528@qq.com



张连海 男,1971年生,山东单县人。中国人民解放军战略支援部队信息工程大学教授,主要研究方向为语音信号处理、智能信息处理、人工智能、信号分析等。  
E-mail: llhhzz163@163.com



李嘉欣 男,1998年生,湖南湘乡人。中国人民解放军战略支援部队信息工程大学硕士研究生,主要研究方向为智能信息处理、人工智能、语音合成。  
E-mail: 414171817@qq.com



李宜亭 男,1993年生,甘肃兰州人。中国人民解放军战略支援部队信息工程大学硕士研究生,主要研究方向为智能信息处理、语音识别、模型压缩。  
E-mail: 904890536@qq.com